

九州大学 工学部 正員 植東一郎  
 九州大学 工学部 正員 小松 利光  
 福岡県 土木部 正員 行徳 恒光  
 九州大学 大学院 学生員○小坪 洋己

はじめに ここ数年来、著者らは、密度プロフィームの組織渦の水理学的役割について研究を行ない、いくつかの知見を得てきただが、流れが船直でありまた2列の渦列が存在するなどなどから現象は複雑となり、より詳細な測定は容易ではなかつた。今回は流れがよりsimpleで測定も容易な混合層に着目し、混合層の界面変動と組織渦との関連、組織渦の空間的時間的拡がり、また連行や乱れとの関係を多变量の同時測定や可視化実験を行ない解析した。

2. 実験装置と方法 実験は長さ5m、幅15cm、深さ40cmの2次元水路を用い、混合層流れを作成するため水平の仕切り板を水路底より25cmの位置に設置した。上層流と下層流は淡水を用い、毎秒1154.0cm<sup>3</sup>供給した。下層流と上層流は内部波高計で混合層の界面変動が測定できることにより内部波高計を使用することにより混合層の界面変動が測定できることにより混合層がほぼ直線的な拡がりを示すX≤30cmの領域では密度効果が無視できることとして測定をこの領域に限定した。流速は2方向のV型、X型ホットフィルム流速計を適宜組み合わせ、密度は電導度計、界面変動は内部波高計を用いて測定した。

3. 実験結果と考察 X軸に沿って測定した流速変動u,v、界面変動ηの周波数スペクトルの例を図-1に示す。組織渦に対応する周波数のところにスペクトルピークが見られ、u,v,ηともにエネルギーが卓越してゐることがわかる。このピークは流下に従い低周波側に段階的に移行しており、アーリュームなどの組織渦と同様の周波数特性を示す(図-2)。組織渦は平均せん断により生じるわけであるから、組織渦の周期Tは( $\frac{dU}{dy}$ )<sub>m</sub>(断面最大平均せん断)と密接な関係があることが期待された。断面流速分布より求めた( $\frac{dU}{dy}$ )<sub>m</sub>の流下方向の変化(図-2)は直線的な拡がりを示しており、スペクトルより得られたTと( $\frac{dU}{dy}$ )<sub>m</sub>の関係が一義的に式のように決定された。組織渦は乱れといつても平均流に直接規定されることはなかった。

$$T = 6.75 \left( \frac{dU}{dy} \right)^{-1} \quad (1)$$

図-1に見られるようにu,v,ηのスペクトルは組織渦に関するにはほぼ同じ挙動を示しており、界面変動は組織渦を見出すための指標と利用できるものと思われる。

次に組織渦の流れ方向の空間的特性を知るために△xだけ離れた2地点で2個

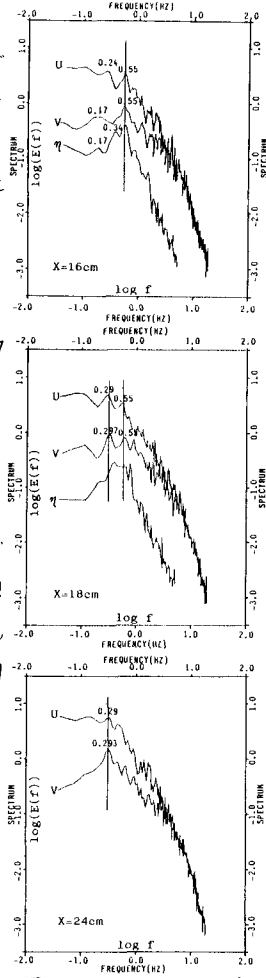


図-1 スペクトルの一例

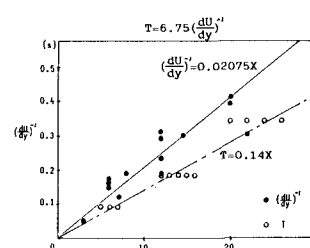
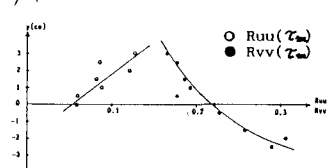
図-2 T, ( $\frac{dU}{dy}$ )<sub>m</sub>～X 関係図

図-3 相互相関係数のz/w値

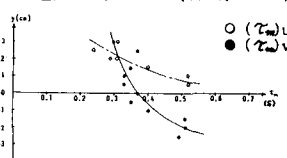


図-4 時間定数 Tm

の2方向ホットフィルム流速計を用いて $u, v$ の測定を行なう。 $T_m = 12\text{ cm}$ ,  $\Delta x = 2.5\text{ cm}$ の場合の相互相関係数のピーチー $R_{uu}(T_m, y), R_{vv}(T_m, y)$ と $u, v$ 時間遅れ $\tau_m$ の $y$ 方向の変化を図-3, 4に示す。 $y$ の値が大きくなるほど $R_{uu}, R_{vv}$ の $T_m$ とともに一様に減少する。また位相速度が大きくなるほど、プローブ1から出発した乱れがプローブ2に達する時間が少なくてすむからである。一方、 $R_{uu}(T_m, y), R_{vv}(T_m, y)$ はともに異なり、 $T_m$ 傾向性を示す。 $R_{uu}(T_m, y)$ は $y$ の減少につれて減少するが、これは $T_m$ の増加に伴う $u$ -変動に関する組織渦の寿命時間が初からまで初期の特性を失つてゆくからである。 $y$ がさらに減少すると $R_{uu}(T_m, y)$ も減少してピーチーの判読が困難となり $u_1$ と $u_2$ の間に事实上の相関関係がみられないからである。 $R_{vv}(T_m, y)$ は逆に $y$ の減少につれて増加していく。これは下層からの運行速度が $R_{vv}(T_m, y)$ の保存に寄与しているためと思われる。流速変動の位相速度 $C_{uu}, C_{vv}$ を $\Delta T_m$ より算出して求め、平均流速 $U$ とともにプロットしたのが図-5である。また $x_1 = 6\text{ cm}, \Delta x = 2\text{ cm}$ の場合について得られた結果も図-6に示す。 $C_{uu}, C_{vv}$ は $U$ とは一致せず、 $dU/dy$ に比べかなりゆるやかで勾配が緩い。Favreらの実験では境界層せん断流の位相速度は場所や波長の関数として与えられており、 $C/U = 0.9 \sim 1.2$ である。今回の実験では $C$ と $U$ は大きく異なり、組織渦の存在が大きく影響している。Taylorの凍結乱流の仮説を組織渦が存在する流れで使用する際は注意が必要である。

次に組織渦の船直方向の空間特性を調べるために2個のホットフィルムプローブを同じ断面で $y=0$ を1寸ずつ等距離 $\Delta y$ に配置し、 $\Delta y = -0.1 \sim 3.0\text{ cm}$ の範囲で $u, v$ を同時測定した。 $R_{uu}(T_m, \Delta y), R_{vv}(T_m, \Delta y)$ の一例を図-7に示す。 $R_{uu}(T_m, \Delta y), R_{vv}(T_m, \Delta y)$ はともに $\Delta y$ が大きくなるにつれて相関性を失つて小さくなるが、 $R_{vv}(T_m, \Delta y)$ が正を保つのにに対し、 $R_{uu}(T_m, \Delta y)$ は $\Delta y$ の大きいところでは負の値となり $u$ と $v$ の空間相間の違いを示している。

図-8に $\tau_m$ を $\Delta y$ に打ちプロットする。 $y$ 方向に $2\Delta y$ だけ離れた地点間の流速の相互相関 $R_{vv}(T_m, \Delta y)$ については $\tau_m = 0$ で時間遅れは見られない。

一方、 $R_{uu}(T_m, \Delta y)$ は $\Delta y$ が大きくなるにつれて $\tau_m$ も大きくなるのであり、 $u$ -変動に関しては上昇流のような性質をもつことがわかる。 $x = 6\text{ cm}, 20\text{ cm}$ の測定についてもほぼ同様であった。つづいて一方のホットフィルムプローブを $y = 0$ に固定し、もう一方と同じ断面で $\Delta y = -3 \sim 5\text{ cm}$ だけ離して $u, v$ を同時測定し、空間特性を調べた。 $R_{uu}(0, \Delta y), R_{vv}(0, \Delta y)$ を図-9, 10に、 $\tau_m$ を図-11, 12に示す。 $v$ に関する空間相間の振がりは $u$ に比べて大きくなる位相の遅れもほとんどみられない。一方、 $u$ に関する位相の遅れが顕著で下部の点の $u$ -変動は上部の点に比べて相が早くなることで組織渦の顕著な特徴を示している。

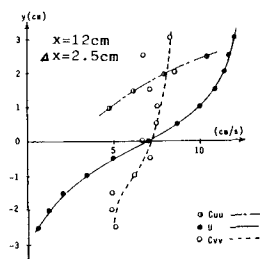


図-5  $C_{uu}, C_{vv}, U$  ( $x = 12\text{ cm}$ )

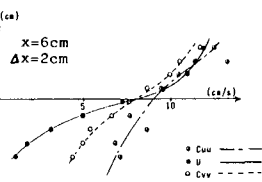


図-6  $C_{uu}, C_{vv}, U$  ( $x = 6\text{ cm}$ )

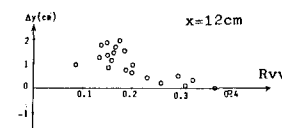


図-7 相互相関係数  $R_{vv}, R_{uu}$

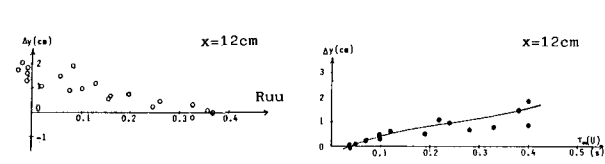


図-8 時間遅れ  $\tau_m$

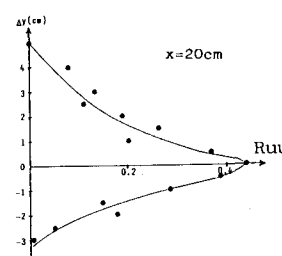


図-9 相互相関係数  $R_{uu}(0, \Delta y)$

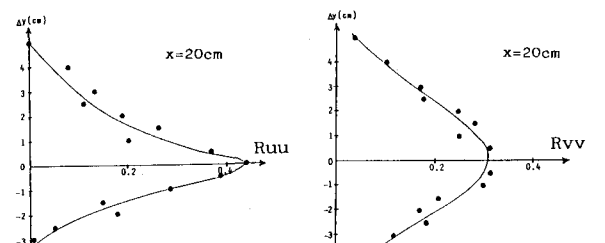


図-10 相互相関係数  $R_{vv}(0, \Delta y)$

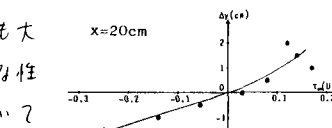


図-11 時間遅れ  $\tau_m(U)$

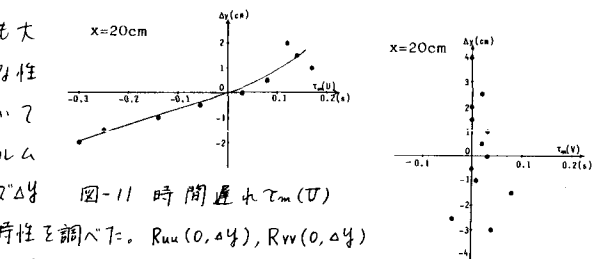


図-12 時間遅れ  $\tau_m(V)$